

Nombre del Producto: Anticuerpo policlonal de conejo MMP-2**Nº de Catálogo: APRab13988**

Solo para uso en investigación.

Resumen

Descripción	Anticuerpo policlonal de conejo
Huésped	Conejo
Aplicación	WB,IHC,ICC/IF,ELISA
Reactividad	Humano, Ratón, Rata, Mono
Conjugación	No conjugado
Modificación	Sin modificar
Isotipo	IgG
Clonalidad	Policlonal
Formato	Líquido
Concentración	1 mg/ml
Almacenamiento	Hacer alícuotas y almacenar a -20°C (válido por 12 meses). Evitar ciclos de congelación/descongelación.
Envío	Bolsas de hielo
Tampon	Líquido en PBS que contiene 50% de glicerol, 0,5% de proteína protectora y 0,02% de conservante de nuevo tipo N.
Purificación	Purificación por afinidad

Aplicación

Relación de Dilución	WB 1:500-1:2000,IHC 1:100-1:300,ICC/IF 1:200-1:1000,ELISA 1:10000-1:20000
Peso Molecular	74kDa

Información del Antígeno

Nombre del Gen	MMP2
Nombres Alternativos	MMP2; CLG4A; 72 kDa type IV collagenase; 72 kDa gelatinase; Gelatinase A; Matrix metalloproteinase-2; MMP-2; TBE-1
ID del Gen	4313.0
ID SwissProt	P08253
Inmunógeno	El antisuero se produjo contra el péptido sintetizado derivado de la MMP-2 humana. Rango de AA: 611-660.

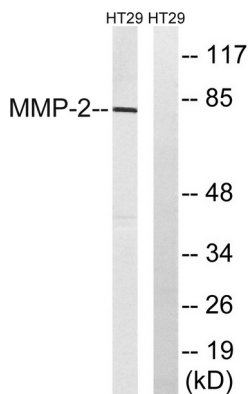
Antecedentes

metalopeptidasa de matriz 2 (MMP2) Homo sapiens Este gen es un miembro de la familia de genes de metaloproteína de matriz (MMP), que son enzimas dependientes de zinc capaces de escindir componentes de la matriz extracelular y moléculas involucradas en la transducción de señales. La proteína codificada por este gen es una gelatinasa A, colagenasa tipo IV, que contiene tres repeticiones de fibronectina tipo II en su sitio catalítico que permiten la unión de colágeno y elastina desnaturalizados tipo IV y V. A diferencia de la mayoría de los miembros de la familia MMP, la activación de esta proteína puede ocurrir en la membrana celular. Esta enzima puede ser activada extracelularmente por proteasas, o, intracelularmente por su S-glutatiolación sin necesidad de eliminación proteolítica del prodominio. Se cree que esta proteína está involucrada en múltiples vías que incluyen funciones en el sistema nervioso, la descomposición menstrual endometrial, la regulación de la vascularización y la metástasis. Las mutaciones en este gen se han asociado con la actividad catalítica de Win: escisión de la gelatina tipo I y los colágenos tipos IV, V, VII, X. Escinde la secuencia similar al colágeno Pro-Gln-Gly-|-Ile-Ala-Gly-Gln., cofactor: se une a 2 iones de zinc por subunidad., cofactor: se une a 4 iones de calcio por subunidad., enfermedad: los defectos en MMP2 son la causa del síndrome de Torg-Winchester [MIM:259600]; también llamado osteolisis nodulosis multicéntrica y artropatía (MONA). El síndrome de Torg-Winchester es un síndrome de osteolisis autosómico recesivo. Es grave con osteolisis generalizada y osteopenia. Los nódulos subcutáneos suelen estar ausentes. El síndrome de Torg-Winchester se ha asociado con una serie de características adicionales que incluyen cara tosca, opacidades corneales, parches de piel engrosada e hiperpigmentada, hipertriosis e hipertrofia de las encías. Sin embargo, estas características no siempre están presentes y ocasionalmente se han observado en otros síndromes de osteólisis. Dominio: La cisteína conservada presente en el motivo de cambio de cisteína se une al ion de zinc catalítico, inhibiendo así la enzima. La disociación de la cisteína del ion zinc tras la liberación del péptido de activación activa la enzima., regulación enzimática: Inhibida por la histatina-3 1/24 (histatina-5)., función: Además de la gelatina y los colágenos, escinde KiSS1 en un enlace Gly-|-Leu., PTM: El propéptido es procesado por MMP14 (MT-MMP1) y MMP16 (MT-MMP3)., similitud: Pertenece a la familia de la peptidasa M10A., similitud: Contiene 3 dominios de fibronectina tipo II., similitud: Contiene 4 dominios similares a la hemopexina., subunidad: Ligando para la integrina alfa-V/beta-3., especificidad tisular: Producida por fibroblastos de piel normal.

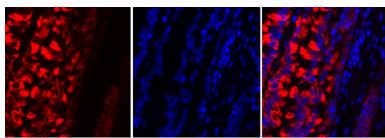
Área de Investigación

Migración transendotelial de leucocitos; GnRH; Vías en el cáncer; Cáncer de vejiga;

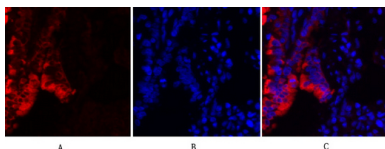
Datos de Imagen



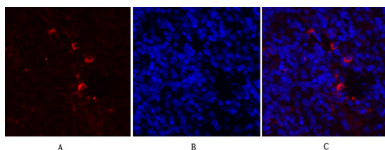
Análisis de inmunotransferencia de lisados de células HT-29, utilizando el anticuerpo MMP-2. El carril derecho está bloqueado con el péptido sintetizado.



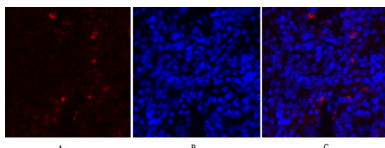
Análisis de inmunofluorescencia de tejido pulmonar de rata. 1. El anticuerpo policlonal MMP-2 (rojo) se diluyó a 1:200 (4 °C, durante la noche). 2. El anticuerpo secundario marcado con Cy3 se diluyó a 1:300 (temperatura ambiente, 50 min). 3. Imagen B: DAPI (azul) 10 min. Imagen A: Objetivo. Imagen B: DAPI. Imagen C: Combinación de A+B.



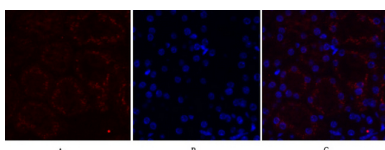
Análisis de inmunofluorescencia de tejido pulmonar de rata. 1. El anticuerpo policlonal MMP-2 (rojo) se diluyó a 1:200 (4 °C, durante la noche). 2. El anticuerpo secundario marcado con Cy3 se diluyó a 1:300 (temperatura ambiente, 50 min). 3. Imagen B: DAPI (azul) 10 min. Imagen A: Objetivo. Imagen B: DAPI. Imagen C: Combinación de A+B.



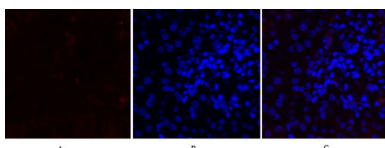
Análisis de inmunofluorescencia de tejido de bazo de rata. 1. El anticuerpo policlonal MMP-2 (rojo) se diluyó a 1:200 (4 °C, durante la noche). 2. El anticuerpo secundario marcado con Cy3 se diluyó a 1:300 (temperatura ambiente, 50 min). 3. Imagen B: DAPI (azul) 10 min. Imagen A: Objetivo. Imagen B: DAPI. Imagen C: Fusión de A+B.



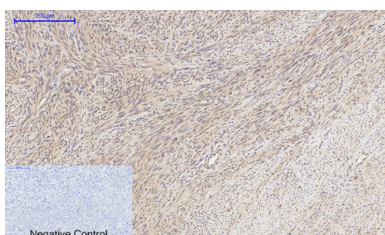
Análisis de inmunofluorescencia de tejido de bazo de rata. 1. El anticuerpo policlonal MMP-2 (rojo) se diluyó a 1:200 (4 °C, durante la noche). 2. El anticuerpo secundario marcado con Cy3 se diluyó a 1:300 (temperatura ambiente, 50 min). 3. Imagen B: DAPI (azul) 10 min. Imagen A: Objetivo. Imagen B: DAPI. Imagen C: Fusión de A+B.



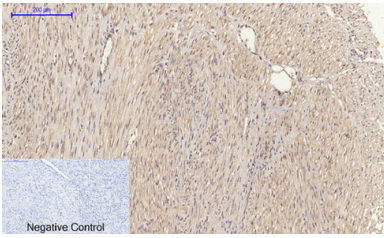
Análisis de inmunofluorescencia de tejido renal de ratón. 1. El anticuerpo policlonal MMP-2 (rojo) se diluyó a 1:200 (4 °C, durante la noche). 2. El anticuerpo secundario marcado con Cy3 se diluyó a 1:300 (temperatura ambiente, 50 min). 3. Imagen B: DAPI (azul) 10 min. Imagen A: Objetivo. Imagen B: DAPI. Imagen C: Fusión de A+B.



Análisis de inmunofluorescencia de tejido renal de ratón. 1. El anticuerpo policlonal MMP-2 (rojo) se diluyó a 1:200 (4 °C, durante la noche). 2. El anticuerpo secundario marcado con Cy3 se diluyó a 1:300 (temperatura ambiente, 50 min). 3. Imagen B: DAPI (azul) 10 min. Imagen A: Objetivo. Imagen B: DAPI. Imagen C: Fusión de A+B.



Análisis inmunohistoquímico de tejido uterino humano incluido en parafina. 1. El anticuerpo policlonal MMP-2 se diluyó a 1:200 (4 °C, durante la noche). 2. Se utilizó citrato de sodio a pH 6,0 para la recuperación de anticuerpos (>98 °C, 20 min). 3. El anticuerpo secundario se diluyó a 1:200 (temperatura ambiente, 30 min). El control negativo se utilizó solo con el anticuerpo secundario.



Análisis inmunohistoquímico de tejido canceroso de útero humano incluido en parafina. 1. El anticuerpo policlonal MMP-2 se diluyó a 1:200 (4 °C, durante la noche). 2. Se utilizó citrato de sodio a pH 6,0 para la recuperación de anticuerpos (>98 °C, 20 min). 3. El anticuerpo secundario se diluyó a 1:200 (temperatura ambiente, 30 min). El control negativo se utilizó solo con el anticuerpo secundario.